

**Walsh 함수에 의한 PLR System에서의
의사잡음 발생기 해석에 관한 연구**

**A Study on Analysis of Pseudo Noise Generator
in Position Location Reporting System by W.F.**

안 두 수	성대 전기공학과
이 계 춘	성대 전기공학과
○ 박 준 문	삼성전자 종합연구소

ABSTRACT

In general, pseudo noise generator(PNG) used for PLR System consists of linear feedback shift register.

Based on a W.F. representation of shift registers, a method for analyzing operational characters & sequence of PNG are studied. PNG is characterized by the time-recursive equation & PNG sequence is analyzed by the output state variable equation.

Methods studied in this paper are illustrated by appropriate example.

1. 서 론

통신계에 시스템에서 이용되는 대역확산기법에는 고정밀 거리측정 기능이 있으며 이 기능은 고정밀의 원거리 RADAR, 야전선 고장위치 판단기능에 활용되고 있다. 그중 특히 주목 할 만한 것으로서 미국군에서 80년대 중반부터 실전배치를 시작한 PLR System을 들 수 있다.

PLR System에서는 두 지점 사이에서 송수신측 신호간에 신호지연기를 이용하여 전송신호의 최대 correlation을 허용으로써 전송시간차 τ 를 측정 할 수 있으며 따라서 시간차 τ 에 의한 정확한 거리측정이 가능해진다.(3) linear feedback shift registers (LFSR)에 의한 PNG sequence는 이러한 correlation 특성을 충분히 만족시키는 동시에 sequence 발생 방법의 용이성 등으로 인해 대역확산 통신계에 시스템에서 널이 이용되고 있다.(7,8)

본 연구에서는 LFSR에 의한 PNG의 구성과 동작 특성 해석 및 PN sequence 계산을 위해 time-recursive equation 및 output state variable equation 등을 Walsh 함수를 적용하여 해석, 고찰했으며 3-stage PNG에 대한 본 연구 결과의 실적용을 보았다.

2. Walsh 함수 적용에 의한 PNG 해석

PLR System을 위한 대역확산 기법에는 직접확산법(Direct Sequence:DS), 주파수 도약(Frequency Hopping:PH) 기법 등이 있다.

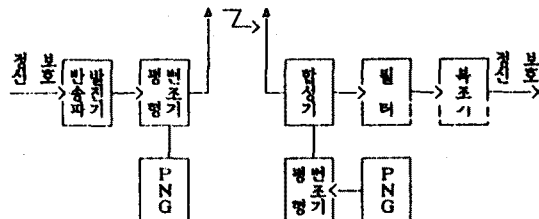
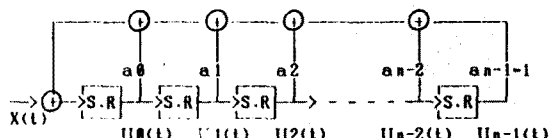


그림 (2-1) DS 방식 계통도

위의 계통도에서 보인 바와 같이 대역확산 통신계에 시스템에는 어려요소가 요구되나 특히 송·수신측의 번복조 과정에서 공통적으로 필요로 하는 요소는 의사잡음 발생 장치로 정보신호는 평면 평가에서 PN sequence에 의해 번조되어 송신된 후 이신호는 수신기에서 송신때와 같은 PN sequence로 복합되어 다시 원래의 정보 신호를 얻게 되며 고정밀 거리 측정을 위해 PN sequence를 이용하여 거리에 따른 시간차 τ 를 측정한 후 3점법을 활용해서 알고자하는 지점의 정확한 위치를 파악한다.(3,7)

2-1. LFSR에 의한 PNG의 일반적 구현

PN sequence는 인위적으로 발생시킬 수 있는 일정주기를 가진 2진부호(binary code)로 백색가우스 잡음(white Gaussian noise)과 유사한 특성으로 가지며 random 하면서도 간편한 방법이 요구되므로 일반적으로 이러한 PN sequence를 발생시키기 위해 LFSR를 이용하여 의사잡음 발생기 PNG를 구상한다. 그림(2-2)은 이의 구성을 보인 것이다.

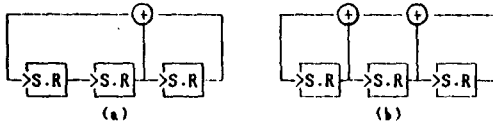


그림(2-2) LFSR에 의한 n-stage PNG구성도(S.R-shift register)

여기서 a_0, a_1, \dots, a_{n-1} 은 0또는 1을 갖는 계환 계수 (feedback coefficients)이며 $X(t)$ 는 stochastic 입력신호로 일반적으로 고려치 않는다. 또한 \oplus 및 \sum 기호는 module-2加산 (addition)을 의미한다. 이 때 LFSR은 식(2-1) 및 (2-2)로 표현된다.(5)

$$U_0(t) = X(t-1) \oplus \sum_{k=0}^{n-1} a_k U_k(t-1) \quad (2-1)$$

$$U_r(t) = U_{r-1}(t-1), \quad 0 < r < n \quad (2-2)$$



그림(2-3) LFSR에 의한 3단 PNG구성

2-2. Walsh 함수에 의한 PNG 해석

1. \times 를 식(2-3), (2-4), (2-5) 및 식(2-6)으로 둘 때

$$1 = \sum_{r=0}^{n-1} 2^r \cdot 1_r \quad (2-3)$$

$$\times = \sum_{r=0}^{n-1} 2^r \cdot x_r \quad (2-4)$$

$$1 = (1_{n-1}, 1_{n-2}, \dots, 1_1, 1_0), \quad 1 \in \{0, 1\} \quad (2-5)$$

$$\times = (x_{n-1}, x_{n-2}, \dots, x_1, x_0), \quad x \in \{0, 1\} \quad (2-6)$$

2진 n -tuples 영역에서 Walsh 함수는 식(2-7)로 표현 할 수 있다.(1)

$$W(1, \times) = (-1)^{\sum_{r=0}^{n-1} 1_r \cdot x_r} \quad (2-7)$$

$$= (-1)^{\sum_{r=0}^{n-1} 1_r \cdot x_r} \quad (2-8)$$

여기서 W 는 Walsh 함수를, 1 은 i 번째 order를 의미한다.

식(2-1) 및 (2-2)의 module-2加산을 위해, 합성된 PNG의 일반적인 time-recursive식을 구하면 식(2-9)과 같다.(5)

$$\sum_{r=0}^{n-1} 1_r U_r(t) = 1_0 X(t-1) \oplus \sum_{r=0}^{n-1} (1_{r+1} \oplus 1_{2r}) X_r(t-1) \quad (2-9)$$

이제 식(2-7), (2-8)을 이용하여 식(2-9)에서 구한 PNG를 Walsh로 표현하면 식(2-10)으로 된다.(5.6)

$$W(1, \hat{U}(t)) = W(1_0, X(t-1)) \cdot W(1_0 a \oplus (i/2), \hat{U}(t-1)) \quad (2-10)$$

$$(1/2) = (0, 1_{n-1}, \dots, 1_2, 1_1), \quad 1 \text{는 정수} \quad (2-11)$$

$$\hat{U}(t) = (U_{n-1}(t), U_{n-2}(t), \dots, U_1(t), U_0(t)) \quad (2-12)$$

$$W(1, \hat{U}(t)) = U_i(t) \text{로 두번} \quad (2-13)$$

식(2-10), (2-13)으로 부터

$$U_i(t) = U(t-1) [U_a(t-1) X(t-1)]^{1/2} \quad (2-14)$$

여기서

$$\hat{U}(t) = (U_1(t), U_2(t), \dots, U_N(t)), \quad N=2 \rightarrow 1 \text{로 두번} \quad (2-15)$$

결과적으로 PNG의 time-recursive식은 식(2-15)과 같이 W.F.에 의한 행렬식으로 해석된다.(2.4)

$$\hat{U}(X(t-1)) = R i j (X(t-1)) \cdot \hat{U}(t-1) \quad (2-16)$$

$$R i j (X(t-1)) = \begin{cases} X(t-1), & 1-\text{가정수} \& j = (i-1)/2 \\ 1, & 1-\text{우정수} \& j = i/2 \\ 0, & \text{기타} \end{cases} \quad (2-17)$$

$X(t-1) \in \mathbb{B}$ 에서 \mathbb{B} 은 $N \times N$ 의 sparse 행렬식이 된다.(5)

2-3. Walsh 함수에 의한 PN sequence 해석

LFSR에 의한 PNG 구성으로부터 각 unit delay인 S.R의 PN sequence의 출력 상태 번수식은 식(2-19)로 구해진다.

$$U(t) = \sum \Delta U(t-1) \oplus B(t-1) \quad (2-18)$$

여기서 Δ 는 $n \times n$ 의 산행정칙연산자 (nonsingular linear operator)로써 단위행렬 I_{n-1} 을 포함한다.(2)

$$\Delta = \begin{bmatrix} 0 & & & & I_{n-1} \\ 0 & & & & \\ \vdots & & & & \\ 0 & & & & \\ a_{n-1} & a_{n-2} & \cdots & a_1 & a_0 \end{bmatrix} \quad (2-19)$$

$$B = \begin{bmatrix} 0 & & & & \\ 0 & & & & \\ \vdots & & & & \\ 1 & & & & \end{bmatrix}, \quad B \text{는 } I_{n-1} \text{ 행렬} \quad (2-20)$$

일반적인 PNG에선 입력신호 $X(t)$ 를 고려치 않으므로 식(2-19)은 식(2-22)로 간략화 할 수 있다.

$$U(t) = \sum \Delta U(t-1) \quad (2-21)$$

또한 각 계환 동작 단계법 (shift & feedback) $n-1$ stage unite delay의 sequence 출력 집단을 C_{n-1} 라 하면

$$C_{n-1} = \{U_{nq}(t)\} \quad (2-22)$$

$$= W(1, \hat{U}(t)) \text{ 가된다} \quad (2-23)$$

$n(i/2)$: PNG stage를 의미, i : 우정수

$q=(n-1, n-2, \dots, 2, 1)$: PNG의 계환동작 단계를 의미. (2-24)

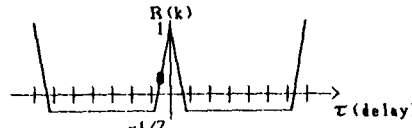
2-4. PN sequence의 자기상관 함수 (Autocorrelation Function) 특성

PN sequence는 여러 특성을 지니나 PLR System과 관련하여 자기상관함수 $R(k)$ 의 특성을 살펴보면 $R(k)$ 는 식(2-25)으로 표현된다.(3.8)

$$R(k) = \frac{1}{N} \sum_{i=1}^N g_i \cdot g_{i+k}, \quad g_i \in \{1, -1\} \quad (2-26)$$

여기서 g_i 는 i 번째 계환동작 단계에서 PNG 최종 stage가 갖는 출력 sequence를, k 는 자연의 수를, N 은 PN sequence의 반복주기를 각각 의미하며 0 같은 -1 로 대치된다. 따라서 $k=0$ 일 때 correlation값 $R(k)$ 가 가장 크며, 주기가 둘 경우 그 이외의 k 값에선 $R(k)$ 가 0로 수렴하게 되므로 이러한 PN sequence의 2레벨 자기상관함수 특성을 이용하면 자연시간 경쟁에 따른 PLR System에서의 거리측정이 용이해진다.

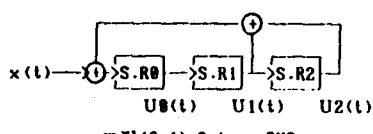
$$R(k) = \begin{cases} 1, & k=0 \\ -1/N, & 0 < |k| < N \end{cases} \quad (2-27)$$



그림(2-4) N=7인 PN sequence correlation 함수

3. 고찰

그림(3-1)과 같이 구성된 3 stage PNG에 대해 본 연구의 결과를 적용, 고찰해보기로 한다.



그림(3-1) 3stage PNG

먼저 초기치로 계환계수 $\hat{h} = (1, 1, 0)$,

$$\text{출력값 } \hat{U} = (1, 1, 1) \text{로 두면 } \cdots \cdots \cdots (3-1)$$

식(2-16)으로부터 그림(3-1)의 PNG는 식(3-2)로 표현될 수 있다.

$U_1(t)$	0	0	0	0	0	$X(t-1)$	0	$U_1(t-1)$
$U_2(t)$	1	0	0	0	0	0	0	$U_2(t-1)$
$U_3(t)$	0	0	0	0	0	0	$X(t-1)$	$U_3(t-1)$
$U_4(t)$	-1	0	0	0	0	0	0	$U_4(t-1)$
$U_5(t)$	0	0	0	$X(t-1)$	0	0	0	$U_5(t-1)$
$U_6(t)$	0	0	1	0	0	0	0	$U_6(t-1)$
$U_7(t)$	0	0	0	0	$X(t-1)$	0	0	$U_7(t-1)$

----- (3-2)

또한 식(2-18)로부터 PN sequence 출력식 $U(t)$ 을 구하면

$$A = \begin{vmatrix} 0 & 1 & 0 \\ 0 & 0 & 1 \\ 1 & 1 & 0 \end{vmatrix}, \quad B = \begin{vmatrix} 0 \\ 0 \\ 1 \end{vmatrix} \quad \cdots \cdots \cdots (3-3)$$

$$U(t) = \begin{vmatrix} U_2(t) \\ U_1(t) \\ U_0(t) \end{vmatrix} = \begin{vmatrix} 0 & 1 & 0 \\ 1 & 0 & 1 \\ 0 & 1 & 0 \end{vmatrix} \begin{vmatrix} U_2(t-1) \\ U_1(t-1) \\ U_0(t-1) \end{vmatrix} \oplus \begin{vmatrix} 0 \\ 0 \\ 1 \end{vmatrix} \times (t-1) \quad \cdots \cdots \cdots (3-4)$$

$$\text{따라서 } U(t) = \begin{vmatrix} U_2(t) \\ U_1(t) \\ U_0(t) \end{vmatrix} = \begin{vmatrix} U_2(t-1) \\ U_1(t-1) \\ U_0(t-1) \end{vmatrix} + U_2(t-1) \oplus \begin{vmatrix} 0 \\ 0 \\ 1 \end{vmatrix} \times (t-1) \quad \cdots \cdots \cdots (3-5)$$

여기서 $x(t-1)=0$ 로 두면 $m=1$ 에서

$$U_m(t) = \begin{vmatrix} 0 & 1 & 0 \\ 0 & 0 & 1 \\ 1 & 1 & 0 \end{vmatrix} \begin{vmatrix} 1 \\ 1 \\ 1 \end{vmatrix} = \begin{vmatrix} 1 \\ 1 \\ 0 \end{vmatrix}, \quad m=1 \text{로 얻어지며 } (3-6)$$

2번째 계환등작 단계의 같은 식(3-7)으로 구해진다.

$$U_m(t) = \begin{vmatrix} 0 & 1 & 0 \\ 0 & 0 & 1 \\ 1 & 1 & 0 \end{vmatrix} \begin{vmatrix} 1 \\ 1 \\ 1 \end{vmatrix} = \begin{vmatrix} 0 \\ 0 \\ 0 \end{vmatrix}, \quad m=2 \quad \cdots \cdots \cdots (3-7)$$

각 계환등작 단계별로 이상과 같은 방법을 반복 시행한 결과를 표(3-1)에 보였다. 따라서 주기가 충분히 긴 PNG에서도 용이하게 PN sequence 출력을 계산해 낼 수 있음을 알 수 있다.

계환 단계	PN sequence			최종 출력
	SR0	SR1	SR2	
start	1	1	1	-
1	0	1	1	1
2	0	0	1	1
3	1	0	0	1
4	0	1	0	0
5	1	0	0	0
6	0	1	0	0
7	1	1	1	0

표(3-1) N=7인 PN sequence 출력

또한 여기서의 자기상관 합수 $R(k)$ 값을 구하면 식(2-24)

으로부터

$$R(0) = \frac{1}{7} (1^2 + 1^2 + 1^2 + (-1)^2 + 1^2 + (-1)^2 + 1^2) = 1$$

$$R(1) = \frac{1}{7} ((1 \times 1) + (1 \times 0) + (1 \times -1) + (-1 \times 1) + (1 \times -1) + (-1 \times 0) + (-1 \times -1)) = -1/7 \quad \cdots \cdots \cdots (3-7)$$

로 일어진다. 따라서 자연의수가 0일 때 최대

correlation 값을 가짐을 알 수 있으며 이와 같은 결과로 시간차 T 를 측정할 수 있다.

4. 결론

본 연구에서는 Walsh 함수를 이용하여 LFSR로 구성되는 PNG의 동작 및 PN sequence 해석에 대해 고찰했다.

본 연구에서 고찰된 적용기법이 PN sequence의 해석 및 계산에 매우 용이함을 보였으며 따라서 이러한 알고리즘이 고도의 복잡성과 정밀성을 갖는 PLR system에서의 거리 측정시 correlation 특성과 관련하여 효과적으로 이용될 수 있을 것으로 기대된다.

참고문헌

- K.G. Beauchamp, "Walsh Functions and Their Applications," by Academic Press.
- S. Barnett, "Matrices in control Theory," by Van Nostrand Reinhold Co.
- R.E. Xiemer & W.H. Tranter "Principles of communications," by Houghton Mifflin Company.
- Irikiid, "A simple Recursive Definition for Walsh Functions," IEEE Trans. EMC-28.(1979)
- David K. Cheng, "Error Analysis of LFSR" IEEE Trans. EMC-26.(1984)
- Jude Pearl, "Application of Walsh Transform to Statistical Analysis," IEEE Trans. SMC-1.(1971)
- L. Couch, "Performance of DS spread spectrum systems," Proc. IEEE, vol.68.(1980)
- G.F. Sage, "Serial Synchronization of Pseudonoise Systems," IEEE Trans. COM-12.(1964)